

Starkniederschlagshöhen und -spenden gemäß KOSTRA-DWD-2020

Rasterfeld 121209

(Zeile 121, Spalte 209)

Regenspende und Bemessungsniederschlagswerte in Abhängigkeit von Wiederkehrzeit T und Dauerstufe D

| Dauerstufe D | | Wiederkehrzeit T | | | | | | | | | | | | | | | | | |
|--------------|-----|------------------|------------|------|------------|------|------------|------|------------|-------|------------|-------|------------|-------|------------|-------|------------|-------|------------|
| | | 1 a | | 2 a | | 3 a | | 5 a | | 10 a | | 20 a | | 30 a | | 50 a | | 100 a | |
| min | Std | mm | l / (s ha) | mm | l / (s ha) | mm | l / (s ha) | mm | l / (s ha) | mm | l / (s ha) | mm | l / (s ha) | mm | l / (s ha) | mm | l / (s ha) | mm | l / (s ha) |
| 5 | | 6,8 | 226,7 | 8,6 | 286,7 | 9,7 | 323,3 | 11,2 | 373,3 | 13,3 | 443,3 | 15,5 | 516,7 | 17,0 | 566,7 | 18,8 | 626,7 | 21,5 | 716,7 |
| 10 | | 8,9 | 148,3 | 11,3 | 188,3 | 12,7 | 211,7 | 14,7 | 245,0 | 17,4 | 290,0 | 20,3 | 338,3 | 22,2 | 370,0 | 24,7 | 411,7 | 28,2 | 470,0 |
| 15 | | 10,2 | 113,3 | 12,9 | 143,3 | 14,6 | 162,2 | 16,8 | 186,7 | 20,0 | 222,2 | 23,3 | 258,9 | 25,4 | 282,2 | 28,3 | 314,4 | 32,3 | 358,9 |
| 20 | | 11,1 | 92,5 | 14,1 | 117,5 | 16,0 | 133,3 | 18,4 | 153,3 | 21,9 | 182,5 | 25,5 | 212,5 | 27,9 | 232,5 | 30,9 | 257,5 | 35,4 | 295,0 |
| 30 | | 12,6 | 70,0 | 15,9 | 88,3 | 18,0 | 100,0 | 20,7 | 115,0 | 24,7 | 137,2 | 28,8 | 160,0 | 31,4 | 174,4 | 34,9 | 193,9 | 39,9 | 221,7 |
| 45 | | 14,1 | 52,2 | 17,9 | 66,3 | 20,2 | 74,8 | 23,3 | 86,3 | 27,7 | 102,6 | 32,2 | 119,3 | 35,2 | 130,4 | 39,1 | 144,8 | 44,7 | 165,6 |
| 60 | 1 | 15,2 | 42,2 | 19,3 | 53,6 | 21,8 | 60,6 | 25,2 | 70,0 | 29,9 | 83,1 | 34,9 | 96,9 | 38,1 | 105,8 | 42,3 | 117,5 | 48,4 | 134,4 |
| 90 | 1,5 | 17,0 | 31,5 | 21,5 | 39,8 | 24,3 | 45,0 | 28,0 | 51,9 | 33,4 | 61,9 | 38,9 | 72,0 | 42,5 | 78,7 | 47,2 | 87,4 | 54,0 | 100,0 |
| 120 | 2 | 18,3 | 25,4 | 23,2 | 32,2 | 26,3 | 36,5 | 30,2 | 41,9 | 36,0 | 50,0 | 41,9 | 58,2 | 45,8 | 63,6 | 50,9 | 70,7 | 58,2 | 80,8 |
| 180 | 3 | 20,3 | 18,8 | 25,8 | 23,9 | 29,2 | 27,0 | 33,6 | 31,1 | 40,0 | 37,0 | 46,6 | 43,1 | 50,9 | 47,1 | 56,5 | 52,3 | 64,6 | 59,8 |
| 240 | 4 | 21,9 | 15,2 | 27,8 | 19,3 | 31,4 | 21,8 | 36,2 | 25,1 | 43,1 | 29,9 | 50,2 | 34,9 | 54,8 | 38,1 | 60,9 | 42,3 | 69,6 | 48,3 |
| 360 | 6 | 24,3 | 11,3 | 30,8 | 14,3 | 34,8 | 16,1 | 40,1 | 18,6 | 47,8 | 22,1 | 55,6 | 25,7 | 60,8 | 28,1 | 67,5 | 31,3 | 77,2 | 35,7 |
| 540 | 9 | 26,9 | 8,3 | 34,2 | 10,6 | 38,6 | 11,9 | 44,5 | 13,7 | 53,0 | 16,4 | 61,7 | 19,0 | 67,4 | 20,8 | 74,9 | 23,1 | 85,6 | 26,4 |
| 720 | 12 | 29,0 | 6,7 | 36,7 | 8,5 | 41,5 | 9,6 | 47,9 | 11,1 | 57,0 | 13,2 | 66,3 | 15,3 | 72,5 | 16,8 | 80,5 | 18,6 | 92,1 | 21,3 |
| 1080 | 18 | 32,1 | 5,0 | 40,7 | 6,3 | 46,0 | 7,1 | 53,0 | 8,2 | 63,1 | 9,7 | 73,5 | 11,3 | 80,3 | 12,4 | 89,2 | 13,8 | 102,0 | 15,7 |
| 1440 | 24 | 34,5 | 4,0 | 43,8 | 5,1 | 49,5 | 5,7 | 57,0 | 6,6 | 67,9 | 7,9 | 79,0 | 9,1 | 86,4 | 10,0 | 96,0 | 11,1 | 109,7 | 12,7 |
| 2880 | 48 | 41,1 | 2,4 | 52,1 | 3,0 | 59,0 | 3,4 | 67,9 | 3,9 | 80,8 | 4,7 | 94,1 | 5,4 | 102,9 | 6,0 | 114,3 | 6,6 | 130,7 | 7,6 |
| 4320 | 72 | 45,5 | 1,8 | 57,7 | 2,2 | 65,3 | 2,5 | 75,2 | 2,9 | 89,5 | 3,5 | 104,3 | 4,0 | 113,9 | 4,4 | 126,6 | 4,9 | 144,7 | 5,6 |
| 5760 | 96 | 49,0 | 1,4 | 62,1 | 1,8 | 70,2 | 2,0 | 80,9 | 2,3 | 96,2 | 2,8 | 112,1 | 3,2 | 122,5 | 3,5 | 136,1 | 3,9 | 155,6 | 4,5 |
| 7200 | 120 | 51,8 | 1,2 | 65,7 | 1,5 | 74,3 | 1,7 | 85,5 | 2,0 | 101,8 | 2,4 | 118,6 | 2,7 | 129,6 | 3,0 | 144,0 | 3,3 | 164,6 | 3,8 |
| 8640 | 144 | 54,2 | 1,0 | 68,8 | 1,3 | 77,7 | 1,5 | 89,6 | 1,7 | 106,6 | 2,1 | 124,2 | 2,4 | 135,7 | 2,6 | 150,7 | 2,9 | 172,3 | 3,3 |
| 10080 | 168 | 56,4 | 0,9 | 71,5 | 1,2 | 80,8 | 1,3 | 93,1 | 1,5 | 110,8 | 1,8 | 129,1 | 2,1 | 141,0 | 2,3 | 156,7 | 2,6 | 179,1 | 3,0 |

Starkniederschlagshöhen und -spenden gemäß KOSTRA-DWD-2020

Rasterfeld 121209

(Zeile 121, Spalte 209)

Örtliche Unsicherheiten in Abhängigkeit von Wiederkehrzeit T und Dauerstufe D

| Dauerstufe D | | Wiederkehrzeit T | | | | | | | | |
|--------------|-----|------------------|-----|-----|-----|------|------|------|------|-------|
| | | 1 a | 2 a | 3 a | 5 a | 10 a | 20 a | 30 a | 50 a | 100 a |
| min | Std | ± % | ± % | ± % | ± % | ± % | ± % | ± % | ± % | ± % |
| 5 | | 13 | 13 | 14 | 15 | 15 | 16 | 16 | 17 | 17 |
| 10 | | 15 | 16 | 17 | 18 | 20 | 21 | 21 | 22 | 22 |
| 15 | | 16 | 18 | 20 | 21 | 22 | 23 | 24 | 24 | 25 |
| 20 | | 17 | 20 | 21 | 22 | 23 | 24 | 25 | 26 | 26 |
| 30 | | 18 | 21 | 22 | 23 | 25 | 26 | 26 | 27 | 27 |
| 45 | | 18 | 21 | 22 | 24 | 25 | 26 | 27 | 27 | 28 |
| 60 | 1 | 18 | 21 | 22 | 23 | 25 | 26 | 26 | 27 | 28 |
| 90 | 1,5 | 18 | 20 | 22 | 23 | 24 | 25 | 26 | 26 | 27 |
| 120 | 2 | 17 | 20 | 21 | 22 | 23 | 25 | 25 | 26 | 26 |
| 180 | 3 | 16 | 19 | 20 | 21 | 22 | 23 | 24 | 25 | 25 |
| 240 | 4 | 16 | 18 | 19 | 20 | 22 | 23 | 23 | 24 | 24 |
| 360 | 6 | 15 | 17 | 18 | 19 | 20 | 21 | 22 | 22 | 23 |
| 540 | 9 | 14 | 16 | 17 | 18 | 19 | 20 | 21 | 21 | 22 |
| 720 | 12 | 14 | 16 | 17 | 18 | 19 | 20 | 20 | 21 | 21 |
| 1080 | 18 | 14 | 16 | 16 | 17 | 18 | 19 | 19 | 20 | 20 |
| 1440 | 24 | 15 | 16 | 16 | 17 | 18 | 18 | 19 | 19 | 20 |
| 2880 | 48 | 17 | 17 | 17 | 17 | 18 | 18 | 19 | 19 | 19 |
| 4320 | 72 | 19 | 18 | 18 | 18 | 19 | 19 | 19 | 19 | 20 |
| 5760 | 96 | 20 | 19 | 19 | 19 | 19 | 19 | 20 | 20 | 20 |
| 7200 | 120 | 21 | 20 | 20 | 20 | 20 | 20 | 20 | 20 | 21 |
| 8640 | 144 | 22 | 21 | 21 | 20 | 20 | 21 | 21 | 21 | 21 |
| 10080 | 168 | 23 | 22 | 21 | 21 | 21 | 21 | 21 | 21 | 21 |

Parameter für abweichende T und D

Lokationsparameter ξ (Xi)

15,54268935

Skalenparameter α (Alpha)

5,78858752

Formparameter κ (Kappa)

-0,1

1. Koutsoyiannis-Parameter θ (Theta)

0,0261409

2. Koutsoyiannis-Parameter η (Eta)

0,74840618

Parameter für dauerstufenübergreifende Extremwertschätzung nach KOUTSOYIANNIS et al. 1998.

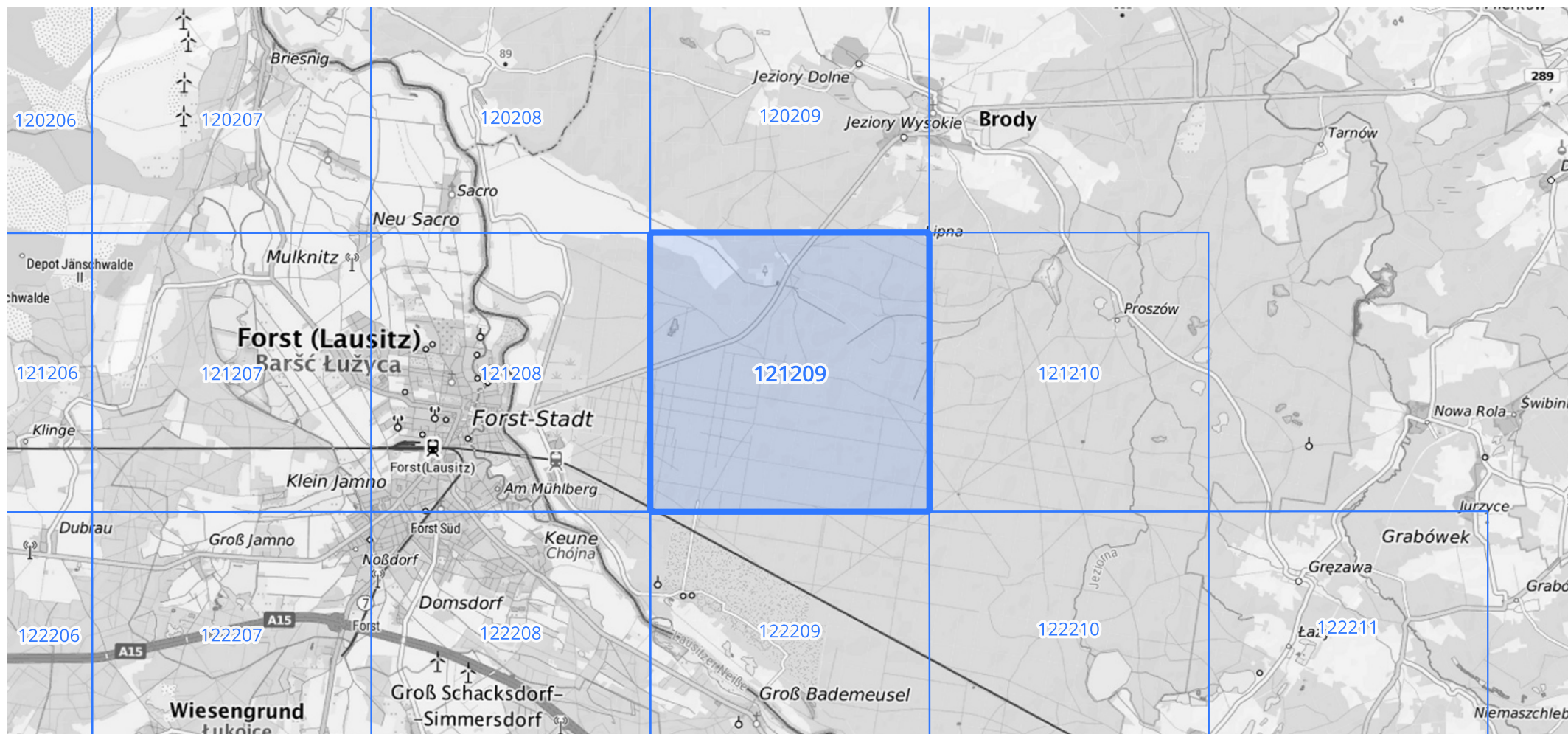
Siehe auch Anwendungshilfe zu KOSTRA-DWD-2020 des Deutschen Wetterdienstes.

Starkniederschlagshöhen und -spenden gemäß KOSTRA-DWD-2020

Rasterfeld 121209

(Zeile 121, Spalte 209)

Übersichtskarte des Rasterfeldes 121209, M 1 : 100 000



Quelle Rasterdaten: KOSTRA-DWD-2020 des Deutschen Wetterdienstes, Stand 12/2022.

Seite 3 von 3

Kartendarstellung: © Bundesamt für Kartographie und Geodäsie (2023), Datenquellen: https://sgx.geodatenzentrum.de/web_public/gdz/datenquellen/Datenquellen_TopPlusOpen.html

Für die Richtigkeit und Aktualität der Angaben wird keine Gewähr übernommen. Erstellt 01/2023.